

Р.І. Никируй

Технологічні чинники газодинамічного осадження наноструктурованих конденсатів CdS, ZnS

*Прикарпатський національний університет імені Василя Стефаника,
вул. Шевченка, 57, м. Івано-Франківськ, 76018, Україна*

Наведено вирази для термодинамічних параметрів пари газодинамічного потоку за лінійним градієнтом температур вздовж циліндричного каналу. Розраховано залежність коефіцієнта та результуючої швидкості конденсації, густини потоку пари, ступеня пересичення та критичного перерізу пари кадмій сульфід та цинк сульфід від температури випаровування матеріалу, градієнта температури вздовж стінок камери та безрозмірної координати для одержання найбільш досконалої структури.

Ключові слова: наноструктури II-VI, осадження із газодинамічного потоку пари.

R.I. Nykuryu

Technology Factors of Gas-Dynamical Deposition of the Nanostructure Condensates CdS, ZnS

*Vasyl Stefanyk Precarpathian National University,
57, Shevchenko Str., Ivano-Frankivsk, 76018, Ukraine*

The expression for the thermodynamic parameters of the gas-dynamic stream of steam shown in approximation of linear temperature gradient along the cylindrical channel of chamber. There was calculate the dependence of the velocity and the resulting condensation, vapor flux density, degree of supersaturation and the critical section of both a cadmium and zinc sulfide pair of evaporation temperature of the material, the temperature gradient along the chamber walls and the dimensionless coordinates to obtain the most perfect structure.

Key words: II-VI nanostructures, gas-dynamical deposition.

Стаття поступила до редакції 02.09.2013; прийнята до друку 30.09.2013.

Вступ

Завдяки своїм унікальним фізичним властивостям, сполуки II-VI знайшли широке застосування у низці високоефективних приладів мікро-, опто- та акусто-електроніки. На їх основі створені та успішно працюють світлоемісійні діоди, лазери, детектори випромінювання, сенсори, електрооптичні модулятори, оптичні покриття, сонячні елементи тощо. Також, використання сполук II-VI (до них відносять ZnS, CdS, HgS, ZnO, ZnSe, CdSe, HgSe, CdO, ZnTe, CdTe, HgTe, HgO) поширене в приладах терагерцевого діапазону; високопотужних електронних приладах; піро- й п'єзоелектронних приладах; компенсаційних газових сенсорах; в якості антивідбивних покриттів [1].

Важливою галуззю використання сполук CdS є приймачі інфрачервоного випромінювання, зокрема ІЧ-лазери, що переналаштовуються, лазери

з електронним накачуванням у видимій ділянці випромінювання, хвильові пластини для ІЧ-оптики. Гетеросистеми CdS/CdTe дають можливість отримати сонячні елементи із ККД 16,5%.

Останнім часом увагу дослідників привертають плівки цинк сульфід. Їх використовують у якості базових шарів тонкоплівкових електролюмінесцентних пристроїв [2, 3], як антивідбиваючі покриття для сонячних елементів [4-6], нетоксичні шари оптичного вікна для плівкових гетеропереходів на основі сполук CuInSe₂ (CIS), CuIn_{1-x}Ga_xSe₂ (CIGS) та CdTe [7, 8], поглинаючі шари детекторів α -частинок [9] та ін. Актуальною є тонкоплівкова технологія виготовлення електролюмінесцентних пристроїв, адже вони мають суттєві переваги над звичайними рідинно-кристалічними дисплеями. Важливою є стабільна робота цих пристроїв у жорстких кліматичних та експлуатаційних умовах [10, 11].

Найбільш поширеним електролюмінофором є ZnS. У прикладній люмінесценції ZnS відіграє приблизно таку ж роль, як кремній у напівпровідниковій електроніці. Ця сполука широко використовується під час створення високовольтних і низьковольтних катодоліумінофорів, фотоліумінофорів, радіоліумінофорів та інших люмінесцентних приладів [12]. Порошкові люмінофори на основі цинк сульфід, легованого міддю, мають квантовий вихід $\sim 100\%$. Це стало можливим через велику глибину рівнів центрів люмінесценції у матеріалі та пов'язану із цим малу ймовірність втрат енергії на збудження фононів [13].

Крім цього, завдяки високій прозорості у діапазоні $\lambda = (370-1000)$ нм, плівки ZnS набули широкого використання, як альтернативного до CdS шару оптичного вікна сонячних елементів на основі халькопіритних сполук CIS, CIGS та CdTe (рис. 1) [7].

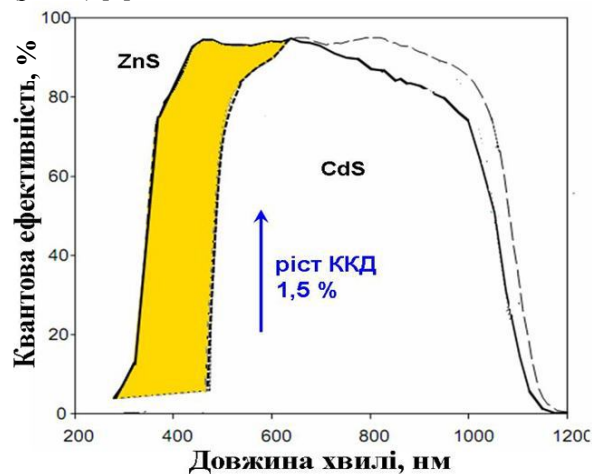


Рис. 1. Зростання квантової ефективності SE під час заміни плівок CdS на ZnS [1].

Особливо слід відзначити перспективу використання плівок ZnS у сонячній енергетиці, що обумовлено їх унікальними оптичними характеристиками. Так, коефіцієнт відбиття R плівок цинк сульфід у діапазоні довжин хвиль 400-700 нм становить $<1\%$, що робить їх незамінними під час використання як одно- так і двошарових (разом з MgF_2) [14] антивідбиваючих покриттів для сонячної енергетики на основі шарів кремнію. Зменшуючи оптичні втрати на відбивання, такі покриття збільшують ККД фотоелементів приблизно на 1-2% [5, 15], що є досить вагомим результатом.

Зміни властивостей матеріалів під час переходу в нанокристалічний стан відкривають перспективи під час створення матеріалів і структурних елементів нанорозмірної ділянки [16]. Тому, велику увагу приділяють розробці нових технологій виготовлення високоякісних і стабільних нанокристалів на основі напівпровідникових матеріалів у твердотільних матрицях різного типу та дослідженню їх люмінесцентних характеристик.

До основних методів отримання наноматеріалів відносяться порошкова технологія, інтенсивна

пластична деформація, контрольована кристалізація з аморфного стану та плівкова технологія. Найбільше поширення для отримання плівок отримали вакуумні методи наплення (включаючи молекулярно-променево епітаксію) та газофазне осадження [17]. Залежно від температури підкладки і швидкості осадження, можна отримувати монокристалічні, полікристалічні або аморфні плівки.

До особливостей отримання сполук II-VI відносять:

1. Висока температура топлення ($T_{\text{топл}}=1365$ К – CdTe, $T_{\text{топл}}=2196$ К – ZnS).

2. Сублімація з дисоціацією під час випаровування ($AB \rightarrow A+1/2B_2$).

3. Велика різниця тиску компонентів (P_A, P_B) сполук.

4. Двофазність (сфалерит та в'юрцит). Сфалерит відповідає найщільнішій кубічній (3С) гратці ...AaBbCcAaBbCc... кристалографічних площин, у той же час як в'юрцит характеризується найщільнішою гексагональною (2Н) граткою ...AaBbAaBbAaBb.

5. Політипізм (низька енергія утворення дефектів пакування).

6. Несиметрична ділянка гомогенності.

Все це ускладнює отримання монокристалів та плівок з керованими властивостями.

У зв'язку із вищенаведеним, дослідження методів синтезу та властивостей плівок на основі сполук II-VI конкретного складу важливі як для практичного їх використання, так і для вивчення фундаментальних фізичних і хімічних процесів, які мають місце під час отримання та експлуатації напівпровідникових структур.

Метою роботи є розрахунок параметрів пари газодинамічного потоку напівпровідникових сполук CdS та ZnS для прогнозованого керування технологічними процесами вирощування наноплівок.

I. Експериментальна частина

Нанокристали напівпровідників CdS і ZnS отримували шляхом осадження пари із газодинамічного потоку у камері циліндричної форми (діаметр $D = 0,05$ м, довжина $L = 0,08$ м, температура випаровування $T_s = 923$ К, градієнт температури вздовж стінки камери $dT_c/dx = -3 \cdot 10^3$ К·м⁻¹) (табл. 1).

Критичний переріз конденсації пари визначали за виразом [18]:

$$x_{\text{кр}} \approx [T_s(1 - \eta) + (1,3RT_s^2 / E_s) / (dT_c / dx)], \quad (1)$$

де E_s – енергія випаровування. Параметр η являє собою відношення енергій випаровування тонкої плівки та масивного матеріалу (табл. 1).

Залежності відносних значень профілів газодинамічних змінних розраховували від безрозмірної координати $\xi = (x - x_{\text{кр}}) / (L - x_{\text{кр}})$, градієнта температури вздовж стінки камери dT/dx та температури випаровування матеріалу T_s . Нормування параметрів пари проводили до їх значення в

початковому газодинамічному перерізі або, що те ж саме, за їх значеннями у критичному перерізі конденсації. В інтервалі $x_0 \leq x \leq x_{кр}$ параметри пари, яка рухається в циліндрі, не змінюються.

Для визначення оптимальних умов вищого виведення конденсатів у методі газодинамічного потоку пари вибирають зведені параметри процесу препакування (геометричні розміри камери, температура випаровування і градієнт температури вздовж стінок камери) та знаходять профілі вздовж стінок камери. На основі їх аналізу можна визначити ділянку камери, у якій властивості конденсатів найбільш повно задовольняють представлених до них вимог.

Таблиця 1

Основні характеристики та розрахункові дані параметрів газодинамічного потоку пари сполук ZnS і CdS

	ZnS	CdS
Енергія випаровування сполук 1-го моля речовини за 0 К, E_s [Дж·моль ⁻¹]	289,8	214,0
Молекулярна маса речовини, m [кг]	0,0975	0,144
Відношення енергій випаровування плівки до енергій випаровування масивного матеріалу, η	1,0	0,983
Температура пари в початковому перерізі, T_1 [К]	646	646
Тиск насиченої пари, p_n [Па]	13,2	3,46
Густина речовини, ρ [кг/м ³]	8240	4825
Густина насиченої пари, ρ_n [кг/м ³]	$1,68 \cdot 10^{-4}$	$6,4 \cdot 10^{-5}$
Густина пари у початковому перерізі, ρ_1 [кг/м ³]	$5,53 \cdot 10^{-5}$	$7,87 \cdot 10^{-4}$
Тиск пари у початковому перерізі, p_1 [Па]	3,05	0,799
Швидкість пари, u_1 [м/с]	277,72	228,47
Витратна дія у початковому перерізі, G_1 [кг/с]	$3,1 \cdot 10^{-5}$	$9,47 \cdot 10^{-6}$
Критичний переріз, $x_{кр}$ [м]	0,011	0,020

II. Результати та обговорення

Теоретичні викладки щодо теорії газодинамічного потоку викладено у [19] та попередніх роботах автора [20].

Параметри газодинамічного потоку, пов'язані із процесами масопереносу, визначаються розміщенням підкладки, на якій відбувається конденсація. У зв'язку із цим, на рис. 2 наведено залежності основних параметрів пари (коефіцієнти конденсації α , нормовані значень густини (ρ/ρ_1),

результуюча швидкість конденсації ($\omega^* = \omega/\omega_1$), ступінь пересичення парової фази (ψ) від безрозмірної координати (ξ) для кадмій сульфід та цинк сульфід. З рис. 2 видно, що під час зростання ξ внесок ревіпаровування швидко зменшується і за $\xi \geq 0,6$ коефіцієнт конденсації стає близьким до одиниці (рис. 2 – криві 1). Тому, на ділянці камери $\xi \geq 0,6$, рух пари досить точно можна описати функцією $M(\xi)$, яка, разом з тим, не враховує ревіпаровування зі стінок камери. При цьому можна вважати, що кожна молекула пари, що потрапила на стінку камери, конденсується на її поверхні.

Залежність розрахованих значень результуючої швидкості конденсації ω^* від безрозмірної координати ξ (рис. 2 – криві 2) вказує на те, що за $\xi \approx 0,28$ для CdS (а) та $\xi \approx 0,18$ для ZnS (б) (що відповідає максимуму ω^*) отримуємо плівки найбільшої товщини. За $\xi \approx 0,6$ крива швидкості конденсації зазнає зламу, що теж, як і у випадку із α свідчить про переважаючий вплив процесів конденсації над процесами ревіпаровування в ділянці високих значень ξ .

Відносна густина пари характеризується максимальним значенням у точці початку конденсації ($x = x_{кр}$, $\xi = 0$) (рис. 2 – крива 3). Зменшення ρ/ρ_1 із зростанням ξ можна пояснити тим, що за наявності у камері витратної дії (конденсації) тиск пари, по

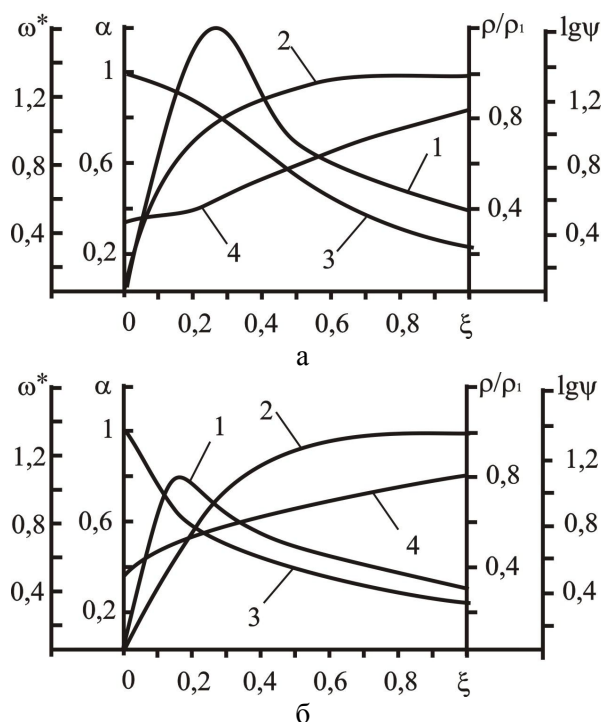


Рис. 2. Профілі параметрів газодинамічного потоку пари CdS (а) та ZnS (б) результуючої швидкості конденсації ω^* (1), коефіцієнта конденсації α (2), нормованих значень густини потоку пари ρ/ρ_1 (3) та ступеня пересичення парової фази ψ (4). Температура випаровування $T_s = 923$ К, градієнт температури вздовж стінок камери $dT_C/dx = -3 \cdot 10^{-3}$ К/м, довжина камери $L = 0,08$ м, діаметр $d = 0,05$ м.

мірі віддалення його від поверхні випаровування, зменшується, що призводить до зростання довжини вільного пробігу молекули та відповідного зменшення густини. За відповідних умов пара може розрідитися настільки, що довжина вільного пробігу λ стане співрозмірною із розмірами самої камери, що спричинить перетворення газодинамічного потоку в молекулярний. Аналогічним чином можна пояснити і зростання ступеня пересичення парової фази біля конденсації на підкладці (рис. 2 – крива 4).

Параметри газодинамічного потоку пари залежать, у першу чергу, від температури випаровування T_v , градієнта температури вздовж стінок dT_C/dx , а також визначаються місцем розміщення конденсуючої підкладки ξ (рис. 3). На ділянці $\xi = 0$ конденсація пари відсутня ($\alpha = 0$). За $0 \leq \xi \leq 0,3$ для CdS і $0 \leq \xi \leq 0,4$ для ZnS спостерігається різке зростання коефіцієнта конденсації $0 \leq \alpha \leq 0,9$. Для безрозмірної координати $\xi \approx 1$ внесок ревіпаровування зменшується і коефіцієнт наближається до одиниці ($\alpha \approx 1$).

Деяка відмінність розподілу параметрів рухомої пари за довжиною камери для цих матеріалів пов'язана, у першу чергу, із величиною енергії випаровування E_S (табл. 1).

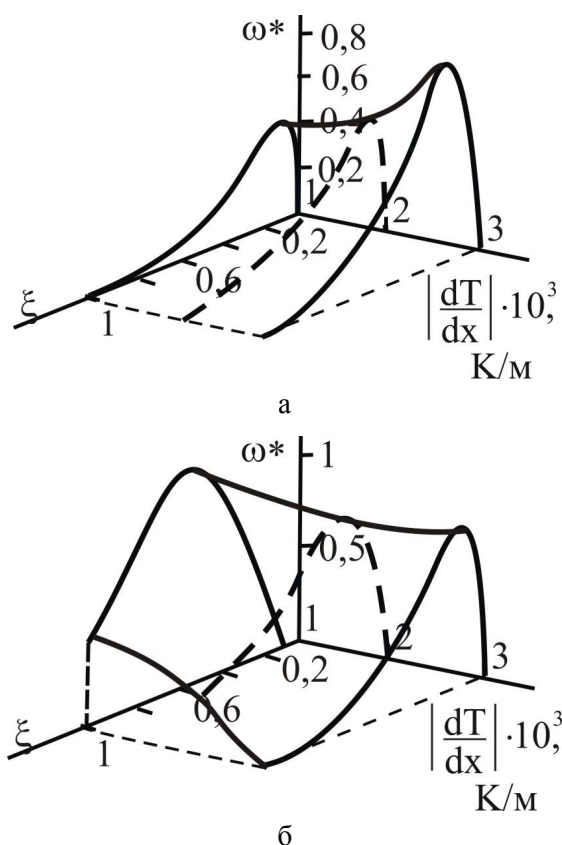


Рис. 3. Залежність результуючої швидкості конденсації ω^* для CdS (а) та ZnS (б) від градієнта температури dT_C/dx та безрозмірної координати ξ (температура випаровування T_S , 923 К; геометричні розміри камери: довжина – $L = 8$ см, діаметр – $d = 5$ см).

Більшу величину енергії випаровування E_S має цинк сульфід та близькі значення плумбум (II) сульфід (табл. 1), тому внесок ревіпаровування у масообмін на стінках для нього є найменшим, що обумовлює максимальні значення результуючої швидкості конденсації (рис. 2, в – крива 3). При цьому, по мірі збільшення енергії випаровування, максимуми в залежностях $\omega^*(\xi)$ від CdS до ZnS зсуваються в ділянку менших значень ξ . Більш наочно така динаміка показана на рис. 3 а для CdS та на рис. 3 б для ZnS. Подальший більш плавний спад ω^* характерний для обох сполук, що обумовлено зменшенням тиску пари в камері. Пара може настільки розрідитися, що газодинамічний потік перетвориться в молекулярний. Положення максимуму результуючої швидкості конденсації відповідає умовам синтезу наноплівки найбільшої товщини. При цьому збільшення dT_C/dx призводить до зсуву ξ_{max} , що відповідає максимальним значенням швидкості конденсації у ділянці менших значень безрозмірної координати (рис. 2). Так само діє збільшення температури випаровування.

На рис. 4 наведено просторову діаграму критичного перерізу конденсації $x_{кр}$. Аналіз діаграм дозволяє зробити ряд важливих висновків про

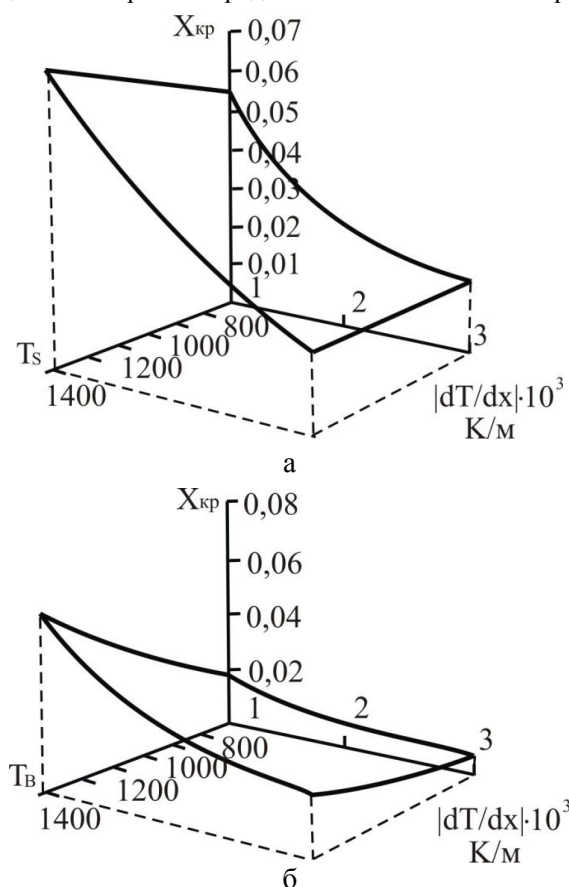


Рис. 4. Залежність координати критичного перерізу $x_{кр}$ CdS (а), ZnS (б) від градієнта температури dT_C/dx та температури джерела T_S ($L = 8$ см, $d = 5$ см).

характер зміни параметрів пари, а також оптимальних режимів отримання плівок. Так, довжина ділянки конденсуючої підкладки $x_{кр}$, на якій відсутній шар конденсату, зростає як під час збільшення температури випаровування T_s , так і під час зменшення градієнта температури dT_c/dx . Зменшення абсолютного значення градієнта сприяє більш різкому зростанню $x_{кр}$, ніж збільшення температури випаровування. За достатньо малих значень градієнта ($dT_c/dx = 50$ К/см) для $T_s = 900 \dots 1400$ К відстань критичного перерізу перевищує довжину камери ($x_{кр} > L$) і рівновагова конденсація матеріалу проходить за межами випарної камери.

Оптимальним фізико-хімічним умовам росту наноплівок відповідають низькі значення ступеня пересичення парової фази ψ та значні швидкості конденсації ω^* в умовах інтенсивного ревіпаровування. Для кадмій сульфід цим вимогам краще всього задовольняє інтервал зміни безрозмірної координати $0,22 \leq \xi \leq 0,35$. За градієнту температури $dT_c/dx = 30$ К/см відстань від випарника, що

відповідає осадженню найбільш досконаліших шарів на підкладках, складає $x \approx 2,0$ см. Для цинк сульфід ці значення складають: $0,11 \leq \xi \leq 0,14$ і $x \approx 1,1$ см відповідно.

Висновки

1. Розраховано параметри газодинамічного потоку пари (коефіцієнт конденсації α , результуюча швидкість конденсації ω^* , пересичення парової фази ψ) для кадмій сульфід та цинк сульфід. Встановлено їх залежності від градієнта температури вздовж стінок камери dT_c/dx .

2. Виявлено залежність параметрів газодинамічного потоку пари від складу сполуки, обумовлену різними значеннями базових величин – енергії випаровування, тиску і густини насиченої пари.

3. Отримано інтервали значень параметрів газодинамічного потоку пари, що відповідають оптимальним умовам осадження конденсатів CdS та ZnS.

Література

1. Отримання тонких плівок ZnS, ZnO, ZnSe методом спреї-піролізу [Електронний ресурс]: 2012 р. – Режим доступу http://ekt.elit.sumdu.edu.ua/downloads/science/Sp_microel.pdf.
2. A.O. Yoshimasa, Electroluminescent displays (World Scientific, New York, 1995).
3. M. Naase, J. Qiu, H. Cheng [et al.], Appl. Phys. Lett., 59, 1272 (1991).
4. K.W. Boer, J.A. Duffie (Amer. Solar Energy Soc. Inc., New York, 1988).
5. U. Gangopadhyay, K. Kyunghae, D.Mangalaraj [et al.], Applied Surface Science, 230, 364 (2004).
6. A. Hovhannisyan, Journal of Contemporary Physics, 43 (3), 136 (2008).
7. D. Hariskos, S. Spiering, M. Powalla, Thin Solid Films, 480-481, 99 (2005).
8. M. Islam, S. Ishizuka, A. Yamada [et al.], Solar Energy Materials and Solar Cells, 93 (6), 970 (2009).
9. H. Kashani, Thin Solid Films, 288 (1), 50 (1996).
10. О. Костина А. Данько, В. Белецкий, Компоненты и технологии, 7, 32 (2007).
11. А. Абилик, К. Харконен, А. Паккала [и др.], Современная электроника, 4, 22 (2008).
12. Y.C. Zhu, Y. Bando, Chem. Phys. Lett., 377, 367 (2003).
13. А.Н. Георгобиани, УФН, 113 (1), 129 (1974).
14. I. Kavakli and K. Kantarli, Turk. J. Phys., 26, 349 (2002).
15. В.М. Андреев, В.П. Хвостиков, В.Р. Ларионов, ФТП, 33 (9), 1070 (1999).
16. S. Kar, S.K. Panda, B. Satpati, P.V. Satyam, S. Chaudhuri, J. Nanostructures Nanosci. Nanotechnol., 6, 771 (2006).
17. R. Viswanatha, S. Sapra, H. Amenitsch, B. Sartori, D.D. Sarma, J. Nanosci. Nanotechnol., 7, 1726 (2007).
18. М.А. Лоп'яно, Р.І. Никируй, І.В. Калитчук, Фізика і хімія твердого тіла, 7 (2), 235 (2006).
19. Ю.З. Бубнов, М.С. Лурье, Ф.Г. Старос, Г.А. Филаретов (Ленинград, 1975).
20. Р.І. Никируй, Автореф. дис. ... кандидата фіз.-мат. наук (Івано-Франківськ, 2011).

Никируй Ростислав Іванович – кандидат фізико-математичних наук, доцент кафедри соціально-економічних та природничих дисциплін Коломийського інституту.